

Utilisation de méthodes d'analyse fréquentielle pour l'attaque de composants cryptographiques par canaux auxiliaires

Olivier MEYNARD, Sylvain Guilley, Denis Réal, Jean-Luc Danger.

- ¹ TELECOM-ParisTech , CNRS – LTCI (UMR 5141),
² DGA/MI (French DoD, information superiority).



Le 18 Mai 2011.

Présentation

- 1 Introduction
- 2 Le TEMPEST
- 3 Le clavier PS/2
- 4 Le RSA
- 5 Perspectives...
- 6 Conclusion

Presentation Outline

- 1 Introduction
- 2 Le TEMPEST
- 3 Le clavier PS/2
- 4 Le RSA
- 5 Perspectives...
- 6 Conclusion

Introduction aux Canaux Auxiliaires

(SCA)

Les Composants Cryptographiques et Cibles Potentielles

- Carte à Puce,
- Microprocessor,
- FPGA.

Les Canaux Auxiliaires

Les composants cryptographiques nous livrent leurs secrets:

- Temps d'exécution
- Consommation de courant
- Rayonnement Électromagnétique

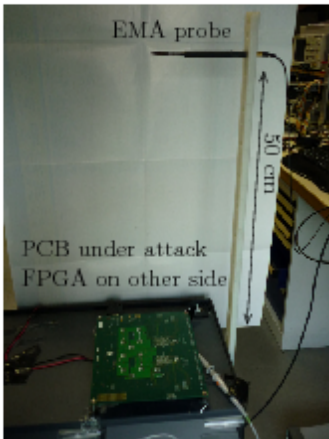
Comment réussir une attaque ?

Choix stratégiques pour une bonne Exploitation du SCA

Le succès d'une attaque dépend de différents paramètres :

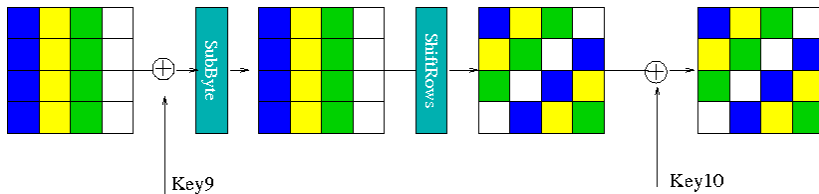
- Un tri pertinent des acquisitions selon un modèle de fuite, *i.e.* **leakage model** ;
- La sélection de points d'intérêts, *i.e.* **POI** ;
- **Un Distingueur** :
covariance (DPA), *corrélation* (CPA), *information mutuelle* (MIA), *maximum de vraisemblance* (Template et Attaques Stochastiques).

Un contexte d'attaque (EM) particulier



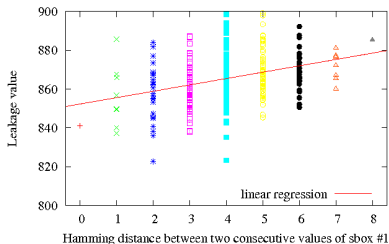
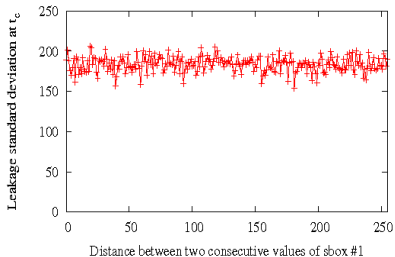
- Utilisation d'une carte SASEBO-G,
- Implémentation d'un AES 128-Bits Rijndael,
- Implémentation sans contremesure.

Choix d'un modèle de fuite et premiers résultats



- La fonction de sélection $\mathcal{L} = HW(\text{state}_9[\text{sbox}] \oplus \text{ciphertext}[\text{sbox}])$.
- Une anecdote : la première ligne des Sbox au dernier tour ne prend pas les 256 valeurs possibles.
- Le nombre de transitions possibles est donc réduit à $\#\{x \oplus \text{SubBytes}(x), \text{ for } x \in [0x00, 0xff]\} = 162$ valeurs sur les 256 attendues.
- la raison : $x \mapsto x \oplus \text{SubBytes}(x)$ n'est pas forcément bijective même si SubBytes l'est.

Premières observations : la détérioration du modèle de fuite à $d = 50$ cm



- La plus grande part d'information est contenue dans la moyenne des valeurs de fuite.
- Le modèle de fuite basé sur la distance de Hamming n'est plus optimal.

Comment améliorer les attaques EM dans des conditions de faible SNR ?

Recherche exhaustive des Points d'intérêts

Méthodes de recherche des points d'intérêt

- The *Sum Of Squared pairwise Differences* (sosd) Gierlichs et al. CHES'06
- The *Sum Of Squared pairwise (T-)Differences* (sost) Gierlichs et al. CHES'08
- The *Principal Component Analysis* (PCA)

Table 1: Quantité d'information et probabilité des poids de Hamming pour des mots aléatoires de 8-bit uniformément distribués.

| Class index l | 0 | 1 | 2 | 3 | 4 | 5 | 6 | 7 | 8 |
|-------------------|------|------|------|------|------|------|------|------|------|
| Information [bit] | 8.00 | 5.00 | 3.19 | 2.19 | 1.87 | 2.19 | 3.19 | 5.00 | 8.00 |
| Probability [%] | 0.4 | 3.1 | 10.9 | 21.9 | 27.3 | 21.9 | 10.9 | 3.1 | 0.4 |

- l'estimation pour les sous groupes $l = 0$ ou 8 est moins précise.
- Conditions de mesures dégradées (faible SNR)...

Utilisation de matériel supplémentaire de type récepteur avant la numérisation du signal

Presentation Outline

- 1 Introduction
- 2 Le TEMPEST**
- 3 Le clavier PS/2
- 4 Le RSA
- 5 Perspectives...
- 6 Conclusion

Introduction au TEMPEST

Le programme TEMPEST

- depuis 1960 : pour analyse des compromissions électromagnétiques,
- définition d'une norme et de standards pour quantifier la quantité d'information compromettante dissipée,
- en 1990 une part importante de ces standards sont déclassifiés.

⇒ le monde civil et académique commence à s'intéresser au domaine

Travaux publiés :

- 1985 : RF eavesdropping of video displays [van Eck]
- 1990 : HF/VHF eavesdropping of RS-232 cables [Smulders]
- 2002 : The EM Side-Channel(s)[Agrawal]
- 2005 : Security limits for compromising emanations [Kuhn]
- 2009 : Compromising Electromagnetic Emanations of Wired and Wireless Keyboard [Vuagnoux]

Matériel utilisé

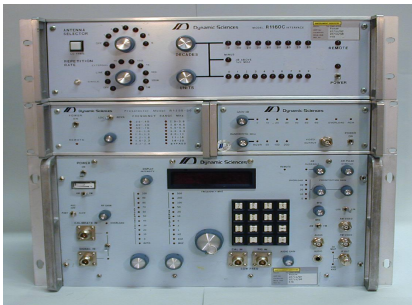
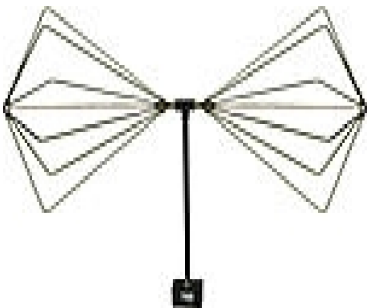


Figure 1: Antenne Biconique 20MHz-300MHz, Récepteur TEMPEST
(Photos extraites Kuhn CHES2005)

Les Compromissions Électromagnétiques

Les origines et les différents types de Compromissions

- Les émanations directes produites par des changements d'état rapides du courant
- Les émanations non intentionnelles produites par des phénomènes de couplage :
 - apparaissent comme la modulation d'une porteuse (les harmoniques de l'horloge) en AM ou FM
 - les signaux compromettants disponibles via démodulation

Un défi scientifique :

Caractériser les fréquences porteuses d'information

Notre Contribution

- Nous proposons différentes approches :
 - ① **une méthode empirique,**
 - ② **une méthode basée sur la PCA (analyse en composantes principales),**
 - ③ **une méthode basée sur la théorie de l'information.**
- Validation de ces méthodes prédictives avec un récepteur TEMPEST.
- Cas d'étude du rayonnement émis par un clavier PS/2.
- Application de cette méthode sur une cible cryptographique.

Presentation Outline

- 1 Introduction
- 2 Le TEMPEST
- 3 Le clavier PS/2**
- 4 Le RSA
- 5 Perspectives...
- 6 Conclusion

Le Protocole PS/2

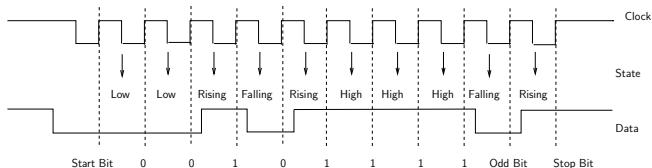
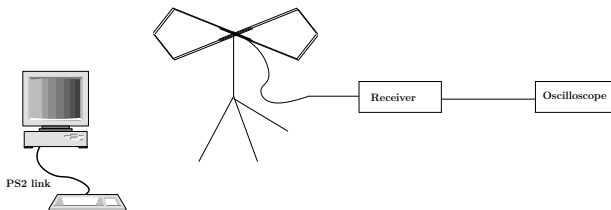


Figure 2: Protocole PS/2 entre un clavier et l'unité centrale d'un ordinateur

- Les lignes (données, horloge) sont montées en collecteur ouvert.
- Les données des trames de 11-bits.
- L'émission d'une trame déclenche l'horloge (F 10 kHz et 16.7 kHz).
- Les données sont lues sur les fronts descendants de l'horloge.

État de l'art et méthodologie des évaluations TEMPEST



Les principes de l'évaluation TEMPEST

- Système placé en cage de Faraday.
- Vérifier que les signaux "Rouge" et "Noir" sont bien séparés.
- i.e la difficulté pour un attaquant de reconstruire un signal "Rouge" à partir d'une interception du "Noir".
- Utilisation d'un analyseur de Spectre et d'un récepteur TEMPEST est requise.

Inconvénients

- Travail long et fastidieux
- dépend de l'acuité de l'évaluateur et de son expérience.

Attaque/Évaluation sans utilisation d'un récepteur TEMPEST

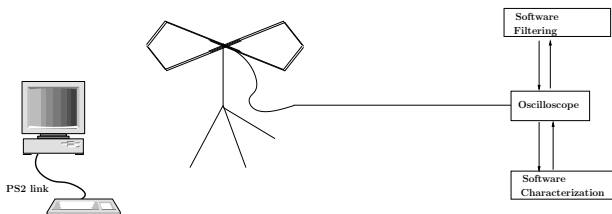
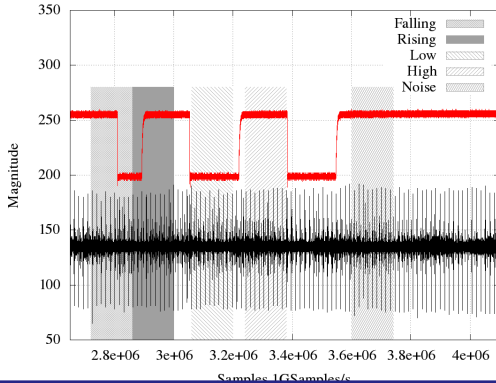


Figure 3: Dispositif d'attaque sans utiliser de récepteur TEMPEST

- Analyse des mesures dans le domaine fréquentiel.
- Accumulation des mesures pour améliorer la précision de la caractérisation fréquentielle.
- Ces résultats peuvent constituer une première évaluation TEMPEST.

Traitement des Données



Notre Méthode en Bref :

- Mettre en évidence les dépendances signal "Rouge" vs "Noir".
- Constituer un stock de courbes conséquent pour une même touche (Signature électromagnétique d'une touche)
- Découper le signal "Noir" connaissant le "Rouge".

Pseudo-code

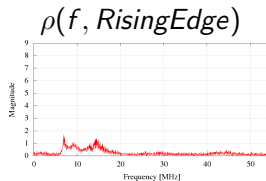
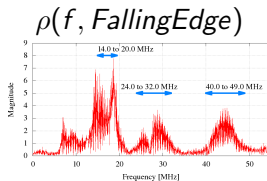
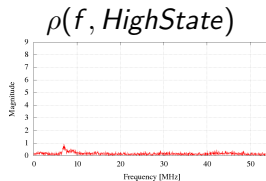
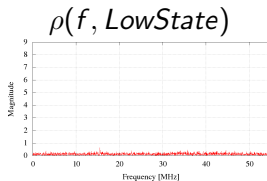
Processing of the measurements

| | |
|---------|--|
| Input: | $O = (O_0, \dots, O_{n-1}, O_n)$ Observation in time domain, $S = (S_0, \dots, S_{n-1}, S_n)$ in $StateSet = \{High, Low, Falling, Rising, Noise\}$. |
| Output: | Result Characterization in frequency domain |

```
1 : for  $i = 0$  to  $n$ 
2 :   Sort  $O_i$  Observation according to the State  $S_i$ ;
3 :   Compute the FFT of each Observation  $O_i$ ;
4 : endfor

5 : Compute the mean for each state  $E(f, State)$ 
6 : Compute the standard deviation for each state  $\sigma(f, State)$ ,
7 : Compute the standard deviation of all the observations  $\sigma_{O_f}$ 
8 : Apply the Distinguisher in Frequency domain.
```

Distingueur Empirique basé sur la CPA



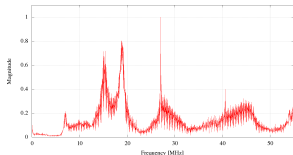
La Méthode Empirique : une différence entre deux moyennes

- spectre obtenu pour un état donné
- spectre obtenu pour le bruit i.e (aucune données ne transitent sur la ligne).

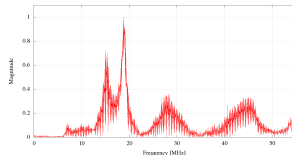
$$\rho(f, State) = \frac{E(f, State) - E(f, N)}{\sigma(f, N)}$$

Distingueur basé sur l'analyse en composante principale

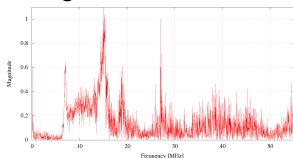
First eigenvector value= 7.2×10^{14}



Second eigenvector value= 2.3×10^9



Third eigenvector value= 3.5×10^7



Fourth eigenvector value= 2.0×10^7

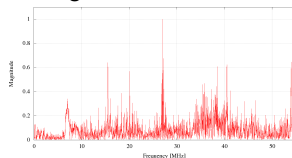
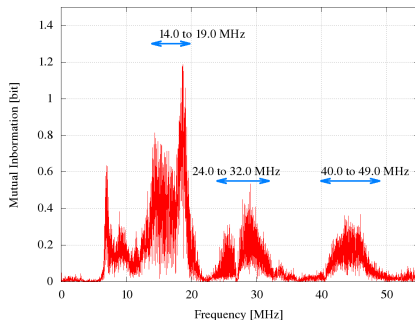


Figure 4: Les quatre vecteurs propres obtenus par PCA.

$$\Sigma_o = \frac{1}{4} \sum_{j \in \text{StateSet}} (\mu_j(f) - \mu(f))(\mu_j(f) - \mu(f))^T$$

Un peu de Théorie de l'information...



- L'information Mutuelle est définie par : $I(O_f; State) = H(O_f) - H(O_f|State)$.
- En approximant et en utilisant l'entropie paramétrique :

$$I(O_f; State) = \frac{1}{4} \log_2 \frac{\sigma_{O_f}^4}{\sigma(f, High)\sigma(f, Low)\sigma(f, Rising)\sigma(f, Falling)}$$

- Le bruit n'est pas considéré de la même façon.

Confirmation des Résultats de caractérisation avec un Récepteur Hardware

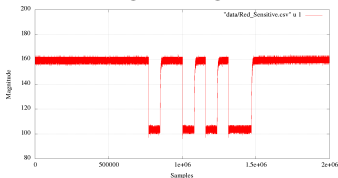
Les Caractéristiques d'un Récepteur TEMPEST

Décrit par Kuhn type R-1250 by *Dynamics Sciences* :

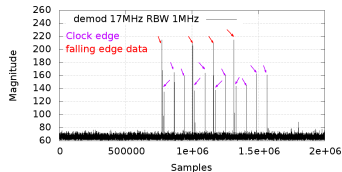
- super hétérodyne et large bande,
- balayage de façon continue des fréquences entre 100 Hz et 1 GHz avec une largeur de bande de 50 Hz à 200 MHz,
- plus de 21 filtres de présélection (atténuation et gain réglable).

Une démodulation réussie

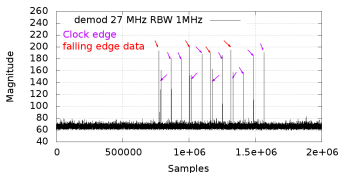
Signal Rouge



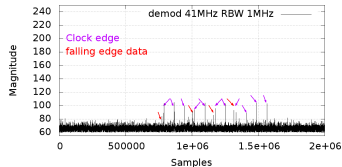
Démodulation à 17.0 MHz.



Démodulation à 27.0 MHz.



Démodulation à 41.0 MHz.



Le signal démodulé montre des particularités :

- la technique des "transitions sur front descendant",
- le front descendant du signal de données et de l'horloge apparents,
- les fronts descendants du signal de données apparaissent avant les fronts descendants d'horloge.

Technique de filtrage software

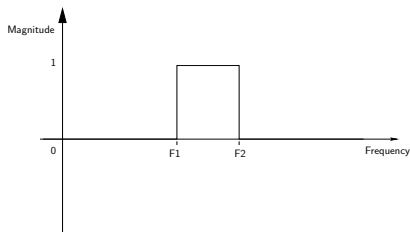


Figure 5: Conception du filtre passe bande.

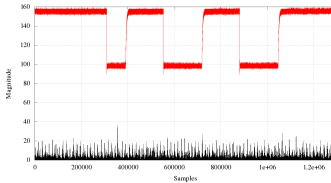
Traitement par filtre software

Démodulation par traitement software :

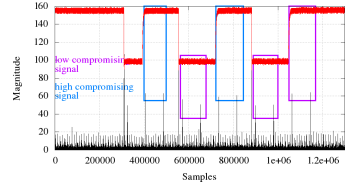
- appliquer la FFT sur le signal "Noir",
- effectuer le produit entre ce signal et le filtre passe bande,
- effectuer une IFFT.

Résultats de Démodulation software

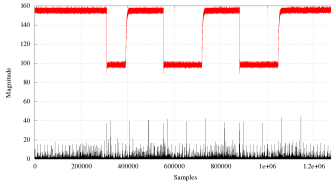
Bandpass filtering 21.0 – 27.0 MHz (No Signal)



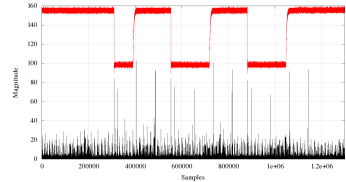
Bandpass filtering 14.0 – 20.0 MHz



Bandpass filtering 24.0 – 32.0 MHz



Bandpass filtering 40.0 – 49.0 MHz



- Obtention de façon approximative de l'enveloppe du signal avec une capture du Signal Noir
- Perte de précision (vs Hardware Démodulation) (BW plus importante).

Pré caractérisation fréquentielle sur des signaux

**Cette technique est-elle applicable sur une cible
cryptographique ?
Sur des Opérations ?**

Presentation Outline

- 1 Introduction
- 2 Le TEMPEST
- 3 Le clavier PS/2
- 4 Le RSA**
- 5 Perspectives...
- 6 Conclusion

Problématiques & Motivations

- *Que faire pour améliorer une SEMA ?*
- SPA/SEMA bien connues d'un point de vue théorique,
- Développer l'aspect pratique de ces attaques,
- Montrer que la démodulation améliore considérablement la SEMA,
- Proposer une méthode pour retrouver les fréquences porteuses d'informations.

Le Cryptosystem RSA

Le RSA :

- Le RSA un crypto système à clé Publique :

$$\text{Encryption} \quad C = P^E \text{ mod } N, \quad (1)$$

$$\text{Decryption} \quad P = C^D \text{ mod } N. \quad (2)$$

- les opérandes sont de taille 1,024 bits.

L'implémentation RSA :

- Exponentiation Modulaire : left-to-right binary method,
- Opération de Multiplication et de mise au carré effectuée de façon séquentielle en fonction du bit de clé D ou E,
- Utilisation d'un Multiplieur de Montgomery (même chemin critique).

Implémentation : Exponentiation Modulaire

Input: $X, N,$
 $E = (e_{k-1}, \dots, e_1, e_0)_2$

Output: $Z = X^E \bmod N$

```

1:  $Z := 1;$ 
2: for  $i = k - 1$  downto 0
3:    $Z := Z * Z \bmod N;$            – squaring
4:   if ( $e_i = 1$ ) then
5:      $Z := Z * X \bmod N;$        – multiplication
6:   end if
7: end for
  
```

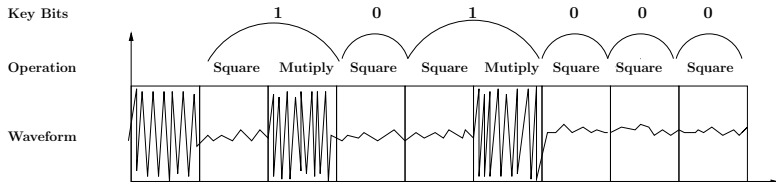


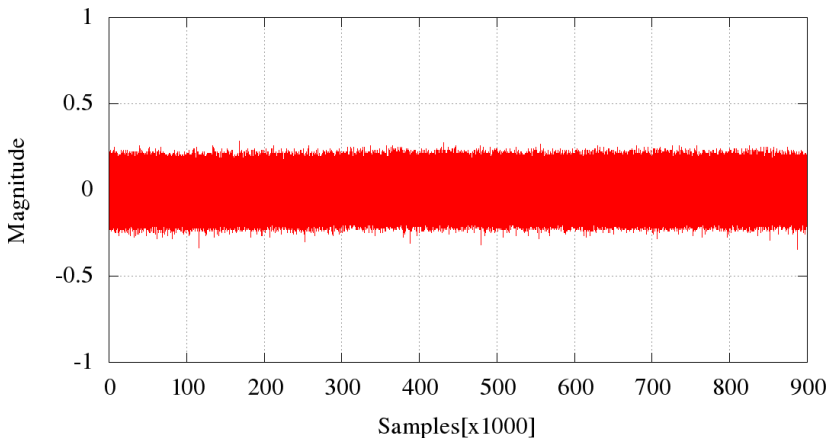
Figure 6: Principe de la SEMA sur le RSA.

Cible Cryptographique

RSA sur FPGA (XILINX VIRTEX II) sur la carte SASEBO-G.



Une Mesure Brute



Questions

Y a-t-il de l'information contenue dans cette mesure brute ?

Notre Contribution

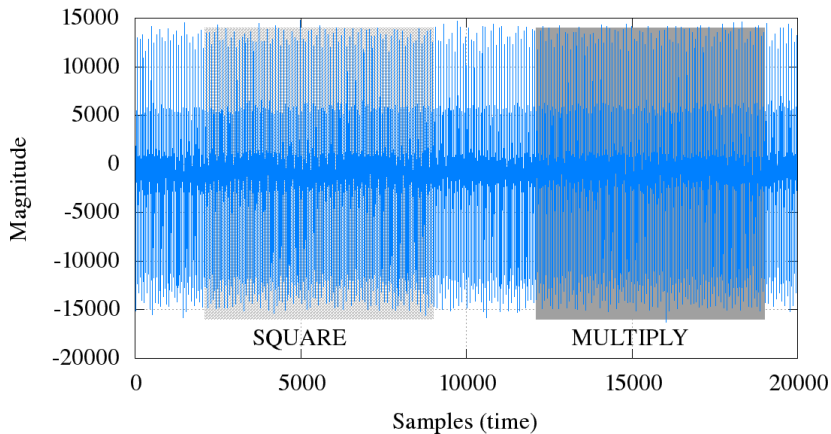
Nous proposons une caractérisation dans le domaine fréquentiel en utilisant la théorie de l'information.

Fenêtrage et Préparation des Echantillons

Méthodologie

- 1 Collecte d'un nombre conséquent de mesures (à Clé connue).
- 2 Choix d'une fenêtre où est exécutée une opération de Square et une opération de Multiply.
- 3 Découpe des mesures connaissant l'opération effectuée.
- 4 Obtentions de 2 jeux de courbes avec le même nombre de traces.

Traitement des Mesures EM



Pseudo-code

| | |
|---------|---|
| Input: | $O = (O_0, \dots, O_{n-1}, O_n)$ Observation in time domain, $S = (S_0, \dots, S_{n-1}, S_n)$ Secret (Operation) |
| Output: | Result of Mutual Information in frequency domain |

```
1 : for  $i = 0$  to  $n$ 
2 :   Sort  $O_i$  Observation according to the Secret  $S_i$ ;
3 :   Compute the FFT of each Observation  $O_i$ ;
4 : endfor
5 :   Compute the mean ( $\mu_{Square}, \mu_{Multiply}$ )
   and the variance ( $\sigma_{Square}^2, \sigma_{Multiply}^2$ )
6 :   Compute the Mutual Information in frequency domain.
```

Théorie de l'Information et Information Mutuelle

En bref

- Étude des dépendances entre le modèle de fuite et l'observation,
- Métrique utilisée pour évaluer la quantité d'information contenue à différentes fréquences f
- Pour chaque fréquence f calcul de la MI $I(O_f; Operation)$.

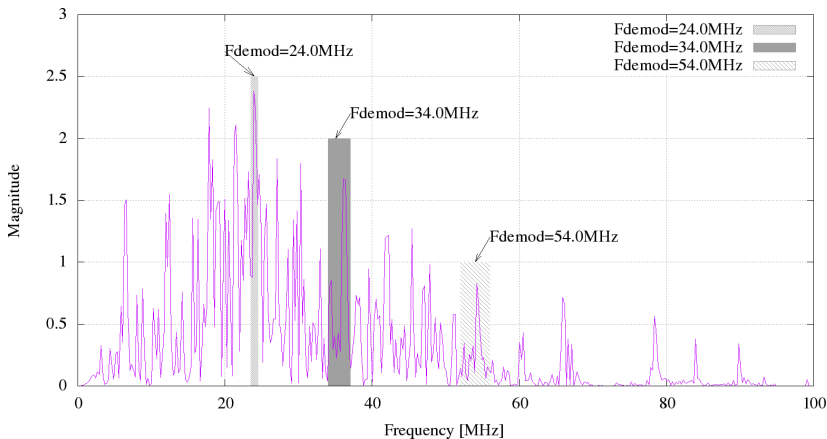
Comment calculer la MI ?

$$I(O_f; Operation) = H(O_f) - H(O_f | Operation),$$

$$I(O_f; Operation) = H(O_f) - \frac{1}{2} (H(f | Multiply) + H(f | Square)),$$

$$I(O_f; Operation) = \frac{1}{2} \log_2 \frac{\sigma_{O_f}^2}{\sigma_{O_f, Multiply} \times \sigma_{O_f, Square}}.$$

Résultat de MIA dans le Domaine Fréquentiel



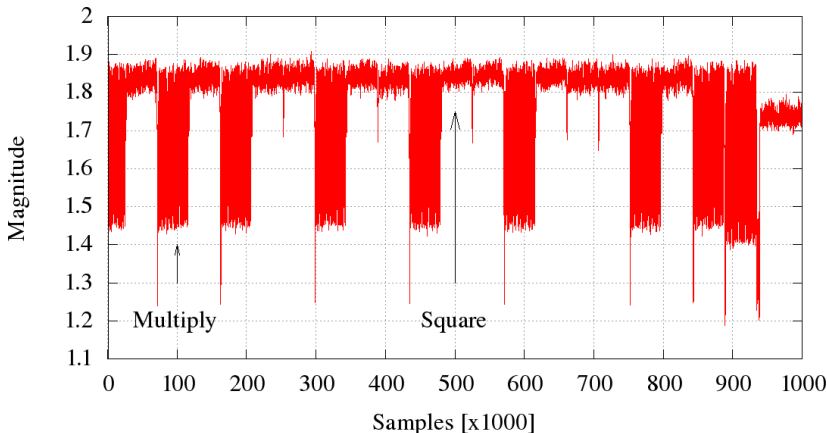
Démodulation à ces différentes fréquences

Émanations Non Intentionnelles

Décrites par Agrawal: Résultat d'une modulation entre une porteuse et l'information sensible.

$$M_s(t) = A \cdot \cos(2\pi f_c t) \cdot [1 + m \cdot v(t)],$$

où f_c la fréquence de porteuse, $v(t)$ le signal informatif, A l'amplitude, m le coefficient de modulation



Les Émanations Directes

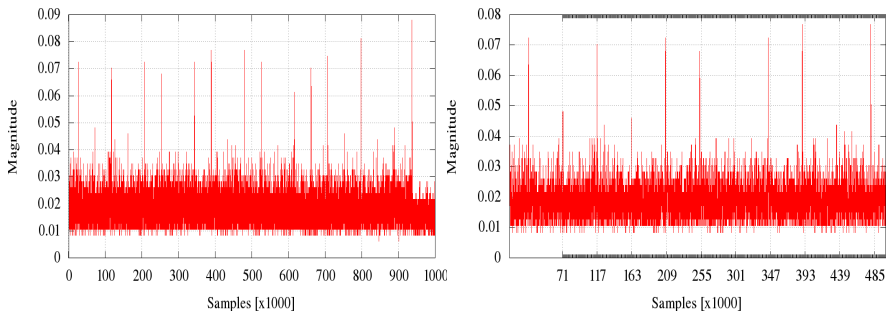


Figure 7: Démodulation à 34MHz

Les Émanations Directes

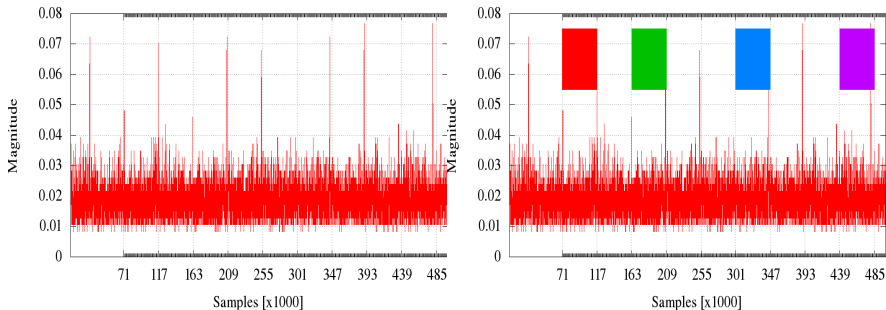


Figure 8: Démodulation à 34MHz

Les Émanations Directes

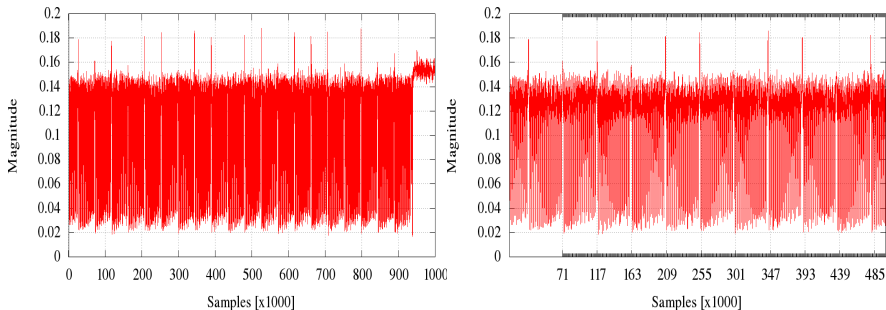


Figure 9: Démodulation à 54MHz

Les Émanations Directes

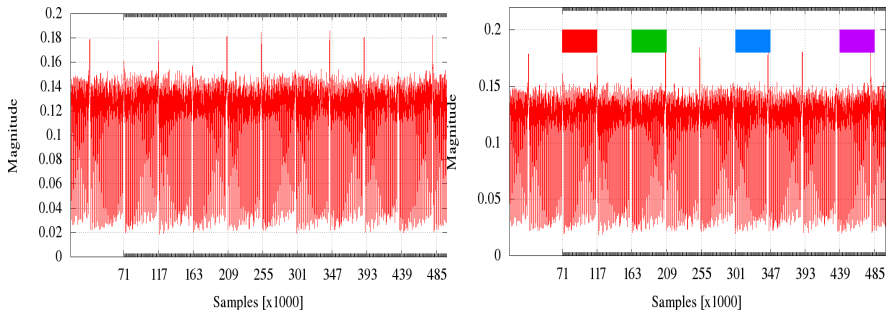


Figure 10: Démodulation à 54MHz

Presentation Outline

- 1 Introduction
- 2 Le TEMPEST
- 3 Le clavier PS/2
- 4 Le RSA
- 5 Perspectives...**
- 6 Conclusion

Travaux en cours : Origines de ces Fréquences Sensibles

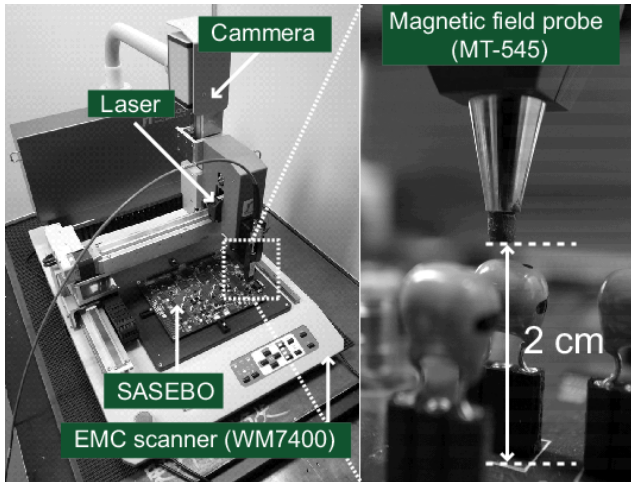
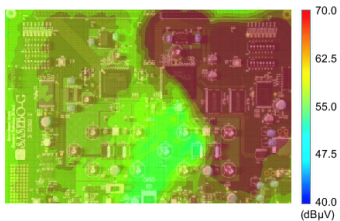


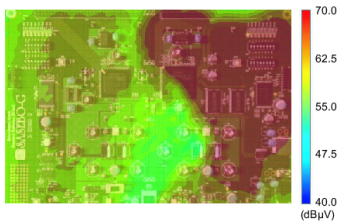
Figure 11: EM measurement system.

Travaux en cours : Origines de ces Fréquences Sensibles

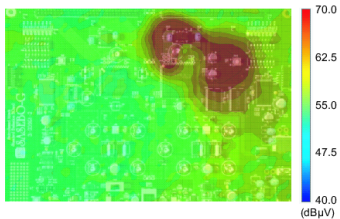
EM-field maps: 10-100 MHz



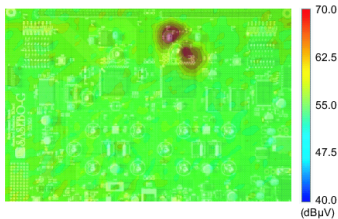
EM-field maps: (a) 100-200 MHz



EM-field maps: (a) 200-300 MHz

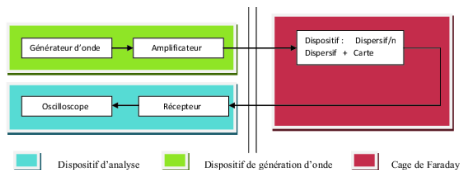


EM-field maps: (a) 300-400 MHz



Travaux en cours: Utilisations des Fréquences Sensibles en Rayonné

Schéma de Principe



Dispositif Réel

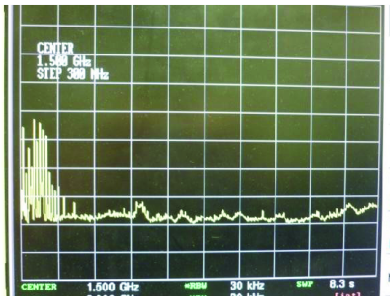


Dispositif expérimental

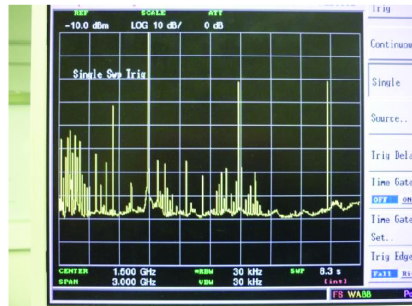
- Utilisation d'une stripline,
- Utilisation d'un coupleur,
- Champ généré de l'ordre de 150V/m, 12dBm. (Fatal au composant)

Travaux en cours : Utilisations des Fréquences Sensibles en Rayonné

Spectre en passif



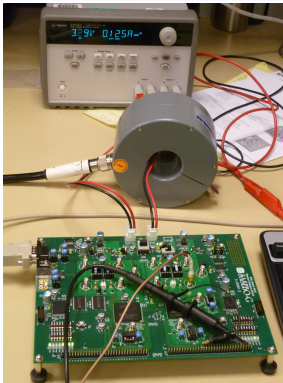
Spectre en injectant une porteuse



**Puissance injectée trop forte \Rightarrow détérioration du composant,
impossibilité de démoduler.**

**Un compromis : Puissance Injectée / Réaction du
composant ?**

Travaux en cours : Utilisations des Fréquences Sensibles en Conduit



Dispositif expérimental

- Porteuse injectée sur l'alimentation continue
- Puissance nécessaire de l'ordre de $130dB\mu V$
- Attaques en fautes, amélioration de l'EMA ...

Presentation Outline

- 1 Introduction
- 2 Le TEMPEST
- 3 Le clavier PS/2
- 4 Le RSA
- 5 Perspectives...
- 6 Conclusion**

Conclusion

- Nous avons montré à travers ces 2 exemples l'intérêt de démoduler des signaux brutes
- Nous proposons une méthode générique que nous pouvons appliquer sur un système et sur un composant.
- Cette méthode ne se substitue pas à une évaluation TEMPEST mais livre un diagnostic rapide de l'état de compromission potentiel des cibles,
- Nous illustrons cette méthode par une étude fréquentielle sur des signaux et sur des opérations.
- Il est maintenant intéressant d'étudier les causes de ces phénomènes et les fréquences de sensibilité de ces composants.
- Utilisation de fréquences de sensibilité des composants pour les mettre en défaut attaque par injection de Fautes, amélioration de l'EMA.

Collaborations

- **DGA MI (CELAR) Bruz**, Denis REAL
- **Université de Tohoku, Sendai, Japon, Projet SPACES**, Naofumi HOMMA, Yu-ichi HAYASHI
- **ANSSI** Karim KHALFALLAH, Emmanuel DUPONCHELLE

MERCI
DES QUESTIONS ?